

九州大学 正員 太田 俊昭

〃 〃 松下 博通

〃 学生員 日野 伸一

〃 〃 井上 弥九郎

1. まえがき

著者らは、プレキャストブロックの結合法として、金属ジョイントによるボルト接合法を考え、それを、R.C およびP.C単純桁に適用し、漸増荷重による一連の曲げ試験を行い、その結果を順次報告してきた。これまでの実験結果によると、接着面の密着性を高め接合部の連続性を保つうえで、セメントペースト充填材、あるいは接着剤、加圧ボルトならびに付加鉄筋等が重要な役割を果たすこと、そしてそれらの効果的な組み合せによって、一体桁と同等もしくはそれ以上の静力学上の剛性と強度を有する連結桁が製作可能であることを確認した。

本研究では、ボルト加圧力を比較的大きくした場合の力学性状や破壊性状を明らかにするとともに、この種連結桁の動的破壊強度、特に疲労強度について実験的な解明を試みるものとする。

2. 実験の概要

(1) 供試体

静的曲げ試験および疲労試験に使用した供試体は、文献-1のCase 7,9 に準じた。すなはち、ジョイント接合面は、セメントペーストキャッピングを施すことにより、面 touch を良くし、取り付け金具を介して 3 ton/本の力（従来のそれは 1~2 ton/本）で、ボルト締めすることにより一体化したもの（Bシリーズ），さらには、図-1に示すようにジョイント部コンクリートと付加鉄筋で補強した連結桁（Cシリーズ），および比較用の一体桁（Aシリーズ）である。

尚、供試体製作に用いたコンクリート配合および材料強度は、表-1、表-2に示す。

(2) 実験方法

打設後 20 日間、恒温湿润養生した後、実験室内に 10 日以上放置した供試体は、各シリーズ2体ずつ（A-1,2, B-1,2, C-1,2）図-1に示すように 3 等分載荷で静的曲げ試験を行ない、平均破壊荷重の 85%, 75%, 65% 荷重時のたわみに相当する荷重を、各シリーズの上限荷重とした曲げ疲労試験を行った。又、下限荷重は、オヤで 0.5 t、繰り返し速度は、300 K.P.M. とした。

疲労試験においては、各シリーズについて、200 回疲労強度を求めるだけではなく、往復回数繰り返し後の静的たわみ、歪、およびひびわれ幅を測定し、初回載荷時におけるそれらとの比較を行った。

3. 結果および考察

(1) 静的試験

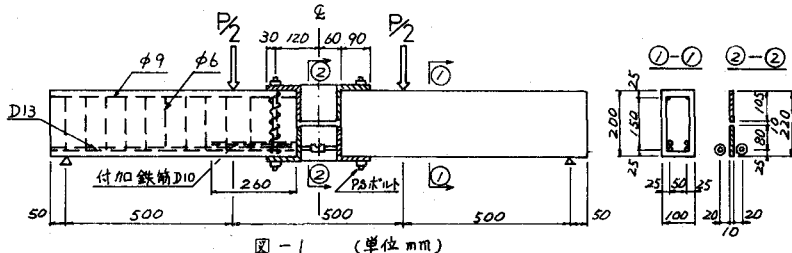


図-1 (単位 mm)

スランプ (cm)	細骨材率 S/a (%)	水セメント比 W/C (%)	単位量 (kg/m ³)			
			水 W	セメント C	細骨材 S	粗骨材 G
6±1	45	50	188.0	376.0	783.8	1085.9

細骨材：比重 2.58 FM 2.68
粗骨材：比重 2.93 最大寸法 20 mm
早強セメント使用 比重 3.18

表-1

コンクリート	圧縮強度	引張強度	弾性係数
	53.4 kg/cm ²	32 kg/cm ²	2.88 kg/cm ²
鉄筋	降伏点	引張強度	弾性係数
	2860 kg/cm ²	4030 kg/cm ²	2.04×10 ⁵ kg/cm ²

表-2

析の破壊は、写真-1に示すように、すぐく載 A-1-1 荷点付近の鉄筋の降伏による曲げ破壊であった。連結桁の鋼とコンクリート接合面のずれは見られず、またジョイント内部には、顯著なひびわれはほとんど存在せず、接合部の一体性はほぼ完全であったと思われる。

表-3は、各供試体の静的破壊荷重を示す。又、図-2は、析中央点の荷重-たわみ曲線を示す。

(い)る。これによると、連結桁(B,Cとともに)のたわみが一體桁より抑えられ、曲げ剛性の高さことを示しているが、破壊荷重直前にたわみが急増し、剛性が低減し、最終耐力は一體桁に比べてB-1-1.4%で17%, C-1-1.4%で5%程度だった。この原因を差えるに、本例のように剛性の高い鋼ジョイントを使用した場合、ボルト加圧力が大きければ接合部の一體性が完全に保持され、剛性が若干大きくなるため、ひびわれは写真-1のよう

写真-1



供試体	破壊荷重
A-1	5.77 t
A-2	6.18
B-1	4.88
B-2	5.07
C-1	5.94
C-2	5.50

表-3

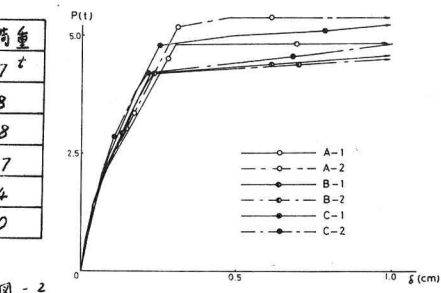


図-2

にコンクリート母材の載荷点近傍に集中し、その結果、析全体としての耐力が多少低下したものと思われる。この解決法の1つとしては、鋼ジョイント部の剛性を適宜調節することにより、コンクリートのひびわれの集中化を防ぐ方法が考えられる。これに関する研究は、別途研究中である。

(2) 疲労試験

疲労試験につけたのは、一體桁の結果のみ示す。連結桁につけたのは、講演当日発表の予定である。一體桁のA-3(破壊荷重の15%, 4.1tを上限荷重とした)は、繰り返し数 $N = 50万 \sim 60万$ 回で破壊(鉄筋の脆性破断)し、A-4(同じく85%, 5.0t)は、 $N = 10.2万$ 回で破壊(鉄筋の疲労によるコンクリートの破壊)した。

図-3は、繰り返し数 N と上限荷重を静的に載荷した時のひびわれ幅比 δ/δ_0 (δ は N 回繰り返し後のひびわれ幅、 δ_0 は $N = 1$ におけるひびわれ幅)の関係を示したものであるが、上限荷重の高いA-3の方が、ひびわれ幅比の増加が大きい。

又、図-4は、同様に N とたわみ比 δ/δ_0 (δ は N 回繰り返し後、上限荷重を静的にかけた時の中央点のたわみ、 δ_0 は $N = 1$ におけるたわみ)の関係を示したものである。A-4は、 N とともにたわみ比が増大しているが、A-3は、 $N = 20万$ 回まではほとんどたわみは変化せず、破壊直前にたわみが急増した。本研究遂行上、九大徳光教授、九大生細田、前川兩君ならびに土木実験室の方々の御指導、御助力を得たことに對し感謝の意を評する。

参考文献 1) Toshiaki Ohta, Kiyoharu Iwataki and Sutchi Hino; studies on Elasto-Plastic Behaviors of Reinforced Concrete Beams connected with a Steel Joint. Memoirs of the Faculty of Engineering, Kyushu University (Vol. 36, No. 1, 1976)
2) 太田、花田、日野; 曲げを受けるプレテンションPC析の結合法について。土木学会第31回年次学術講演会。
3) 徳光、出光、松下; 鉄筋コンクリートのボルト疲労に関する実験。九州大学建築系、第42巻、第2号、昭和44年3月。

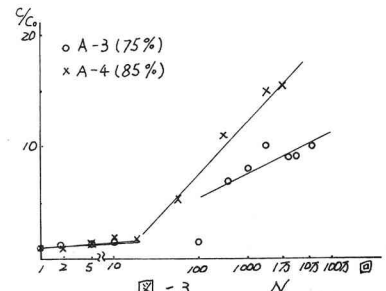


図-3

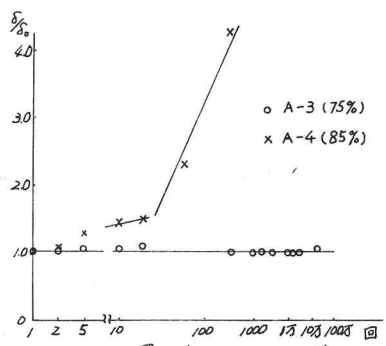


図-4